

## بررسی آزمایشگاهی اثر ورق‌های سختکننده در رفتار ستون‌های فولادی پُرشده با بتن CFST

طالب موادی شفاقی (دکتری)  
دانشگاه آزاد اسلامی، واحد علوم و تحقیقات

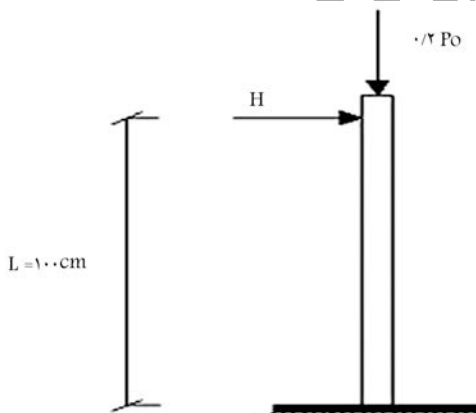
فریز ناطقی الهی (استاد)  
پژوهشگاه بین‌المللی زلزله‌شناسی و مهندسی زلزله

ستون‌های فولادی پُرشده با بتن CFST نوعی از ستون‌های مرکب هستند که به دلیل مزایای فراوانی که نسبت به ستون‌های بتن‌آرم و فولادی دارند، استفاده از آن‌ها مخصوصاً در ساختمان‌های بلند در سال‌های اخیر رواج زیادی پیدا کرده است. در این تحقیق اثر ورق‌های سختکننده که به صورت سرتاسری و یا در تواحی بحرانی (محل تنش‌های بیشینه) در داخل ستون به جدار فولادی جوش می‌شوند، به صورت آزمایشگاهی بررسی می‌شوند. در این بررسی‌ها ۱۰ نمونه ستون با مقیاس حدود ۱:۳ ساخته شده‌اند و آزمایش می‌شوند. تعدادی از نمونه‌ها بدون ورق‌های سختکننده هستند و در تعدادی ورق‌های سختکننده در تمام طول ستون و در تعدادی دیگر ورق‌های سختکننده در ناحیه بحرانی ستون قرار داده شده است. نمونه‌های مورد آزمایش تحت بار محوری فشاری تواأم با بار جانبی متابو افزایش‌یابنده تا انهدام کامل ستون قلر می‌گیرند و منحنی‌های رفتاری نمونه‌ها ترسیم شده و مورد بررسی قرار می‌گیرند. از لحاظ شکل مقطع عرضی، سه شکل دایره، مربع و هشت ضلعی در نظر گرفته شده است. وجود ورق‌های سختکننده در تواحی بحرانی ستون باعث بهبود رفتار ستون در چرخه‌های پارکزدای جانبی می‌شوند و شکل پذیری ستون را افزایش می‌دهند.

وازگان کلیدی: ستون‌های فولادی پُرشده با بتن، جدار فولادی، ورق‌های سختکننده، شکل پذیری، بار جانبی متابو.

### مقدمه

برای بررسی آثار ورق‌های سختکننده در رفتار ستون‌های CFST، در آزمایشگاه سازه‌ی پژوهشگاه بین‌المللی زلزله‌شناسی و مهندسی زلزله، ۱۰ نمونه ستون با مقیاس حدود ۱:۳ ساخته و تحت نیروی محوری فشاری تواأم با نیروی جانبی متابو افزایش‌یابنده آزمایش شدند. از ۱۰ نمونه ستون، نمونه‌های O<sub>3</sub>, O<sub>2</sub>, O<sub>3</sub>S, C<sub>3</sub>S, C<sub>3</sub>SN, O<sub>2</sub>SN, O<sub>3</sub>SN, O<sub>2</sub>SN, O<sub>3</sub>SN, S<sub>3</sub>SN در سرتاسر طول ستون و نمونه‌های C<sub>3</sub>SN, O<sub>2</sub>SN, O<sub>3</sub>SN در انتهای ورق‌های سختکننده در ناحیه بحرانی ستون (محل تنش‌های بیشینه) بودند. در آزمایش‌ها از دستگاه محرك نیرو<sup>۱</sup> با ظرفیت ۵۰۰ کیلونیوتون برای اعمال بارمحوری و از دستگاه با ظرفیت ۲۵۰ کیلونیوتون برای واردکردن بار جانبی در انتهای ستون به صورت اعمال تغییر مکان جانبی استفاده شد.<sup>[۱]</sup>



شکل ۱. مدل نمونه‌های CFST.

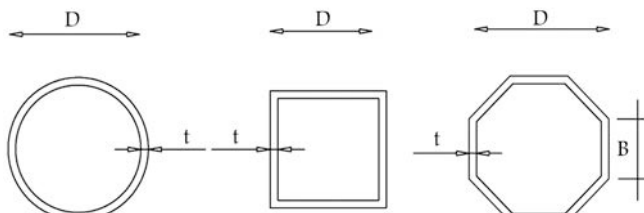
نمونه‌ها به صورت یکسرگیردار مدل شدند و در انتهای آزاد تحت بارمحوری تا حدود ۰.۷ P₀ تواأم با بار جانبی افزایش‌یابنده به صورت اعمال تغییر مکان جانبی رفت و برگشتی قرار گرفتند.<sup>[۲,۳]</sup> تصویر تعدادی از نمونه‌ها در شکل ۲ نشان داده شده است.

مدل نمونه‌های تحت آزمایش مدل نمونه‌های تحت بار محوری تواأم با بار جانبی به صورت شکل ۱ است. این

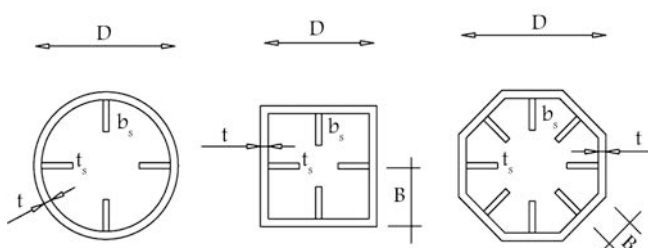
تاریخ: دریافت ۱۰/۱۱/۱۳۸۶، داوری ۱۵/۵/۱۳۸۷، پذیرش ۷/۳/۱۳۸۷.

جدول ۲. مشخصات بتن نمونه ها.

$f_c'$ (Mpa)	وزن مخصوص (Kn/m <sup>3</sup> )	آزمونه ها
۳۰,۸	۲۲,۵۷	آزمونه مکعبی ۱
۲۷,۲	۲۲,۷۴	آزمونه مکعبی ۲
۳۰,۴	۲۲,۴۴	آزمونه استوانه بی ۱
۲۶,۹	۲۱,۸۵	آزمونه استوانه بی ۲



شکل ۳. مقاطع عرضی نمونه های بدون ورق های سخت کننده.



شکل ۴. مقاطع عرضی نمونه های با ورق های سخت کننده.

اول مشخصه کننده شکل مقطع و عدد بعد از حرف اول مشخصه هی ضخامت جداری فولادی است. نمونه هایی که حرف سوم آنها S است، دارای ورق های سخت کننده در سرتاسر طول و نمونه هایی که حرف سوم و چهارم آنها SN است، دارای ورق های سخت کننده در ناحیه بحرانی (این ستون) هستند. مشخصات هندسی نمونه ها طوری طراحی شده است که با دستگاه های موجود در آزمایشگاه بتوان نمونه ها را تا حد گسیختگی آزمایش کرد. مشخصات هندسی نمونه ها و مقاومت مشخصه هی بتن و تنفس تسیلیم فولاد جداری نمونه ها در جدول ۳ و شکل مقطع عرضی نمونه ها در شکل های ۳ و ۴ آورده شده است. در جدول ۳ مقاومت محوری خالص ستون است، در جدول ۳،  $t_s$  و  $b_s$  به ترتیب عرض و ضخامت ورق های سخت کننده، و  $A_c$  و  $A_s$  به ترتیب مساحت بتن و فولاد مقطع نمونه ها هستند.

جدار فولادی به همراه ورق پایی ستون و اتصال پایین در یک کارگاه صنعتی با دقیق سیمار بالا ساخته شده و در آزمایشگاه بعد از بتربیزی و عمل آوردن بتن، در سن ۲۸ روزه با ۴ عدد پیچ نمره ۲۵ از نوع پر مقاومت به قاب صلب آزمایشگاه متصل شد. در ساخت جدار فولادی از جوش شیاری سرتاسری استفاده شده است.



شکل ۲. تصویر تعدادی از نمونه های آزمایش.

### مشخصات مصالح نمونه ها

#### مشخصات فولاد جداری نمونه ها

فولادهای مورد استفاده در ساخت جداری نمونه ها از نوع ST-۳۷ است که تحت آزمایش کشش قرار گرفتند. مشخصات فولادها طبق نتایج آزمایش ها در جدول ۱ آورده شده است.

#### مشخصات بتن مصرفی در نمونه ها

با توجه به اینکه نمونه های مورد آزمایش کوچکتر از مقادیر واقعی و با مقیاس حدود ۳ هستند، لذا مصالح بتن نمونه های ستون با مصالح ستون های واقعی مقادیری فرق خواهد داشت. دانه بندی مواد دانه بی در نمونه ها با دانه بندی مواد دانه بی در مقیاس واقعی ستون ها متفاوت خواهد بود.<sup>[۴]</sup>

در نمونه های مورد آزمایش نسبت های وزنی مواد تشکیل دهنده بتن  $۰,۵۷: ۱: ۴$  و عیار سیمان مصرفی  $۳۵۰ \text{ Kg/m}^3$  است.<sup>[۵]</sup> آزمونه های بتن در قالب های استوانه بی و مکعبی در حین بتربیزی نمونه ها برداشته شده اند و در روز آزمایش (در سن ۲۸ روزه)، تحت آزمایش فشار قرار گرفتند که مشخصات آن ها در جدول ۲ آورده شده است.

### مشخصات نمونه های آزمایشی

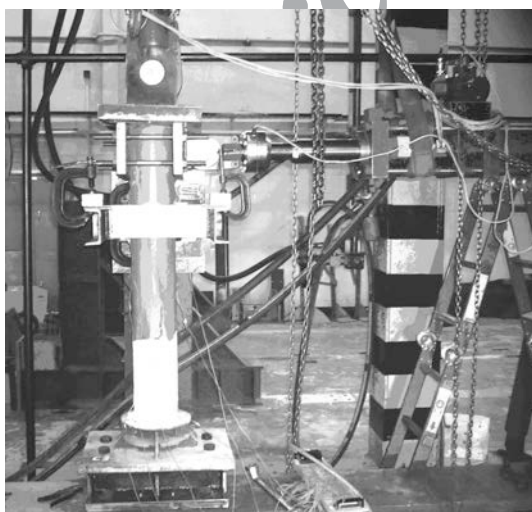
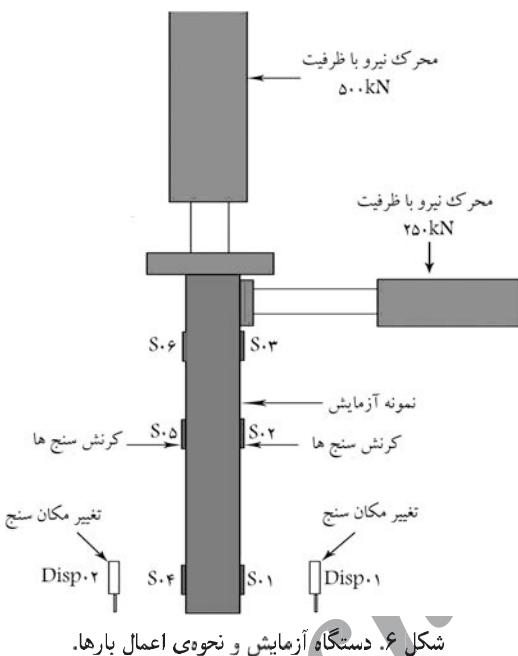
نمونه های آزمایشی ستون های CFST شامل ۱۰ نمونه است که شکل مقاطع نمونه ها دایره (C)، مربع (S) و هشت ضلعی (O) انتخاب شده اند. در اسامی نمونه ها حرف

جدول ۱. مشخصات فولاد جداری نمونه ها.

نمونه ها	$F_u$ (Mpa)	$F_y$ (Mpa)	$\varepsilon_y$	$\varepsilon_u$
فولاد نمونه های با قطع هشت ضلعی (O)	۴۲۴	۳۰۷	۰,۰۲	۰,۲۴
فولاد نمونه های با قطع مدور (C)	۴۲۸	۳۳۳	۰,۰۷	۰,۲۳
فولاد نمونه های با قطع مربعی (S)	۴۴۵,۶	۴۰۱,۶	۰,۰۱	۰,۱

جدول ۳. مشخصات نمونه‌های CFST

P <sub>u</sub> (kN)	f <sub>c'</sub> (Mpa)	F <sub>y</sub> (Mpa)	A <sub>c</sub> (mm <sup>2</sup> )	A <sub>s</sub> (mm <sup>2</sup> )	b <sub>s</sub> /t <sub>s</sub>	L/D	B/t	D/t	t (mm)	D-B (mm)	نمونه
۸۲۵/۲	۲۸	۳۳۰	۱۸۱۳۶/۶	۱۹۵۹/۳	-	۶/۷۵	-	۴۰	۴	۱۶۰-۱۶۰	O۳
۸۳۵/۶	۲۸	۴۰۰	۱۶۹۰۰	۲۰۸۰	-	۷/۸۲	-	۳۴/۵	۴	۱۳۸-۱۳۸	S۳
۱۰۴۷/۷	۲۸	۳۰۰	۳۰۴۰۲	۱۴۲۰	-	۵/۴۲	۲۶/۷	۶۶/۳	۳	۱۴۴-۸۰	O۲
۱۲۱۰/۹	۲۸	۳۰۰	۳۰۴۰۲	۲۵۶۰	-	۵/۳۲	۲۰	۵۰/۵	۴	۲۰۱-۸۰	O۳
۹۴۰/۹۴	۲۸	۳۳۰	۱۷۶۵۶/۷	۲۴۲۹/۳	۴۰/۳	۵/۳۷	۱۰	۴۰	۴	۱۶۰-۴۹	O۳S
۱۲۷۵/۲	۲۸	۳۰۰	۲۹۹۴۲	۲۸۸۰	۴۰/۳	۷/۹	۲۶/۶	۶۶/۸	۳	۱۴۴-۸۰	O۲S
۸۴۸/۷	۲۵	۳۳۰	۱۹۵۹۶/۷	۱۴۴۰/۲	۴۰/۳	۶/۵	۱۰/۴	۴۱/۵	۴	۱۶۶-۴۱/۵	O۳SN
۱۱۷۰/۲	۲۵	۳۰۰	۳۰۴۰۳	۲۴۰۰	۴۰/۳	۵/۵۴	۱۲/۳	۶۴/۴	۳	۱۹۹-۴۰	O۲SN
۱۲۱۰/۹	۲۵	۳۰۰	۳۰۴۰۳	۲۵۶۰	۴۰/۳	۵/۰۷	۱۲/۳	۵۳/۲	۴	۲۱۳-۵۳/۲	O۳SN
۸۳۵/۶	۲۵	۴۰۰	۱۶۹۰۰	۲۰۸۰	۴۰/۳	۸/۳	۱۶/۲	۳۲/۵	۴	۱۳۰-۶۵	S۳SN

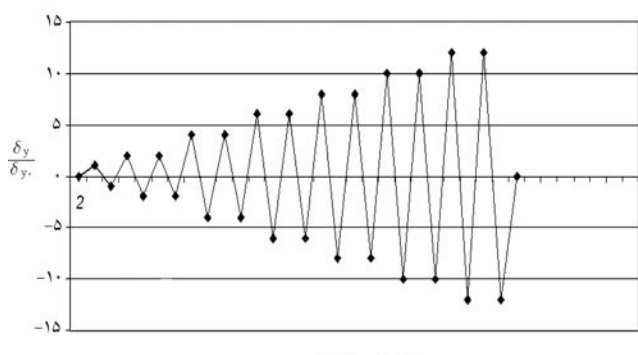


شکل ۷. یک نمونه ستون CFST در حین آزمایش.

### دستگاه آزمایش و نحوه اعمال بارها

نمونه‌ها به صورت یکسرگیردار در قاب صلب آزمایشگاه مستقر و با دستگاه‌های محرك نيزو آزمایش شدند. شکل ۵ منحنی اعمال بارجاني را به صورت ايجاد تغييرمکان جانبي در انتهائي ستون نشان مي دهد.<sup>[۶]</sup> در اين شکل ۵ پيشينه‌ي تغييرمکان جانبي ايجاد شده و  $\delta_y$  تغييرمکان جانبي نظير نقطه‌ي شروع تسلیم هستند.

در شکل ۶، دستگاه آزمایش و نحوه اعمال بارها، محل ۶ عدد کرنش سنج استفاده شده (S۰۶ ~ S۰۱)، محل دو عدد تغييرمکان سنج (Disp۰۲ و Disp۰۱) و دستگاه‌های محرك نيزو قائم وافقی به طور شماتیک نشان داده شده است. کرنش سنج‌ها از نوع YFLA-۶-۱۱ و تغييرمکان سنج‌ها از نوع CDP-۵۰ میلی‌متر و دستگاه قرائت از نوع UPM ۱۰۰ استاتیکی ۱۰۰ کاناله هستند. برای اعمال بارجاني به انتهائي ستون، ۲ ورق فولادی به ضخامت ۳۰ میلی‌متر در دو طرف ستون درنظر گرفته شده‌اند که با ۴ میل مهار به هم‌دیگر متصل می‌شوند. اين ورق‌ها با پين به محرك نيزو افقی متصل شده‌اند و با اعمال تغييرمکان افقی به صورت متناوب و افرايش يابنده‌ي بار جانبي به انتهائي نمونه وارد می‌شود. برای اعمال بار محوري از يك صفحه‌ي فولادی به ضخامت ۵۰ میلی‌متر در انتهائي ستون استفاده شد که با پين به محرك نيزو قائم متصل می‌شود.<sup>[۷]</sup> شکل ۷ يك نمونه ستون CFST را در حین آزمایش نشان مي‌دهد.



شکل ۵. منحنی اعمال تغييرمکان در انتهائي ستون.

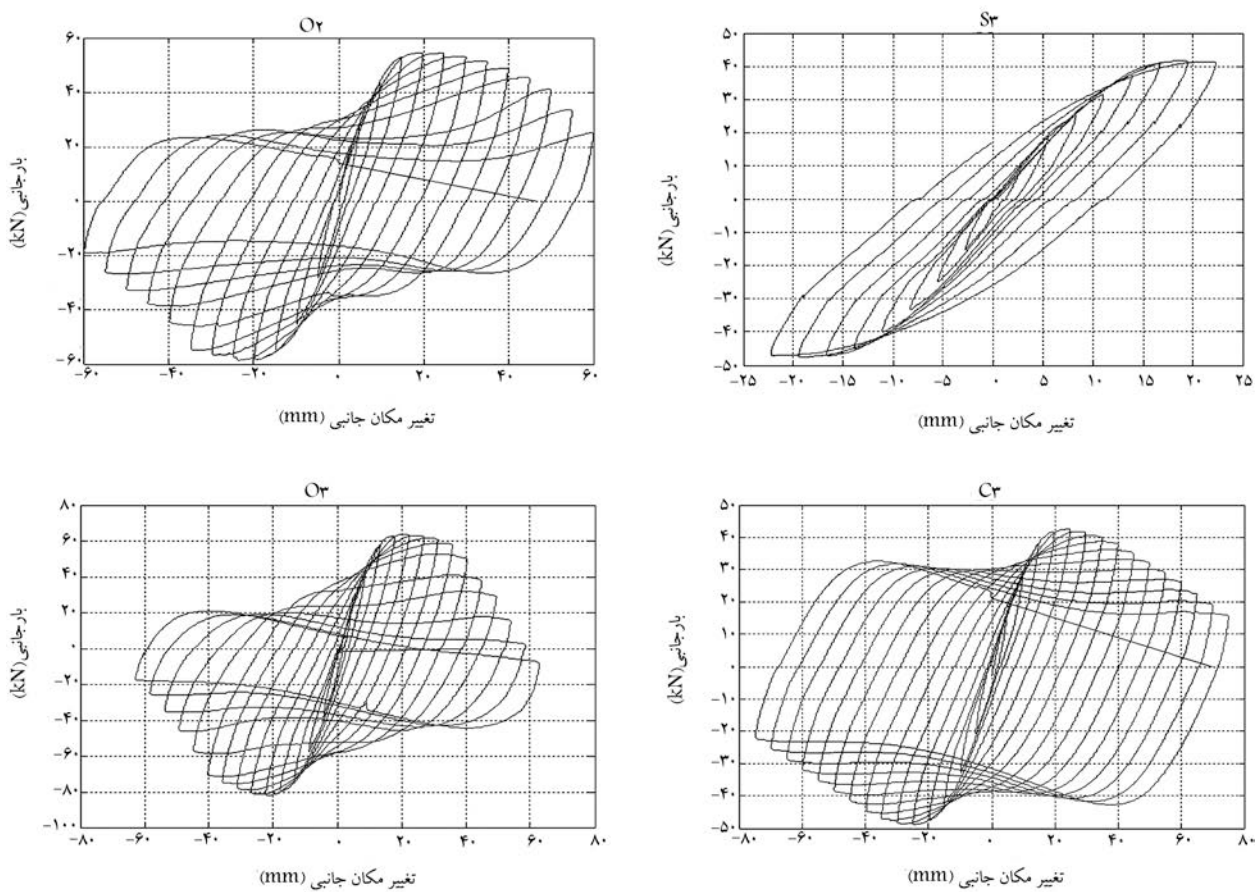
## آزمایش‌ها و منحنی چرخه‌بی نمونه‌ها

نمونه‌های ستون CFST تحت نیروی فشاری محوری و بار جانبی رفت و برگشتی در انتهای نمونه تا حد گسیختگی مورد آزمایش قرار گرفتند. در جدول ۴، نتایج آزمایش‌ها ارائه شده است، در جدول ۴،  $\delta_{Y_1}$  تغییرمکان انتهای نمونه در شروع تسلیم جدار فولادی،  $\delta_{Y_{max}}$  تغییرمکان جانبی انتهای نمونه در شروع افت مقاومت،

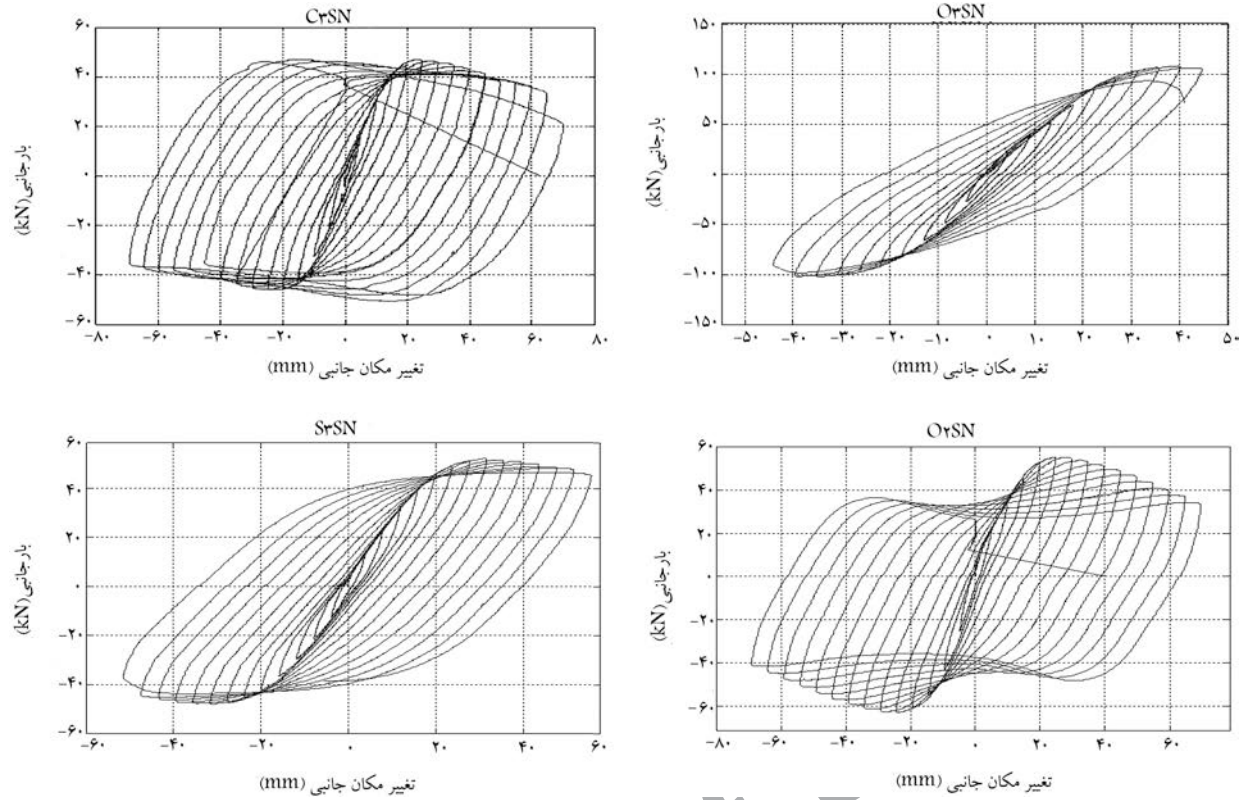
شکل پذیری انقلابی drift،  $\mu = \delta_{Y_1}/\delta_{Y_{max}}$  نسبت بیشینه‌ی تغییرمکان جانبی انتهای نمونه در شروع گسیختگی،  $\mu$  ضریب خطی کرنش در مقطع و  $P_o$  ظرفیت فشاری نهایی ستون است که از رابطه  $P_o = 0.85 f'_c A_c + A_s E_y$  محاسبه شده است.<sup>[۱۰, ۱۱]</sup> در شکل ۸ منحنی‌های چرخه‌بی نمونه‌های بدون ورق‌های سخت‌کننده و در

جدول ۴. نتایج آزمایشات نمونه‌های تحت فشار توازن با بار جانبی چرخه‌بی.

$\varepsilon_{cu}$	No. cycles	drift	$\mu = \delta_{Y_1}/\delta_{Y_{max}}$	$\delta_{Y_{max}}(\text{mm})$	$\delta_{Y_1}(\text{mm})$	$\delta_{Y_{max}}(\text{mm})$	$\% \Delta P_o (\text{Kn})$	نمونه‌ها
۰,۰۲۲	۱۵	۰,۰۶۹	۱۲	۷۵	۶۰	۵	۱۷۰	C۳
۰,۰۲۱	۱۴	۰,۰۵۹	۱۱	۶۴	۴۴	۴	۱۶۰	S۳
۰,۰۱۸	۱۵	۰,۰۶۹	۱۰	۷۵	۵۰	۵	۲۰۰	O۲
۰,۰۱۹	۱۵	۰,۰۶۲	۹	۶۷,۵	۴۰,۵	۴,۵	۲۴۰	O۳
۰,۰۲۱	۱۴	۰,۰۶۴۸	۱۳	۷۰	۶۵	۵	۲۰۰	C۳S
۰,۰۲	۱۵	۰,۰۶۲۵	۱۲	۶۷,۵	۵۴	۴,۵	۲۴۰	O۲S
۰,۰۲۲	۱۵	۰,۰۶۹۴	۱۳	۷۵	۶۵	۵	۲۰۰	C۳SN
۰,۰۱۹	۱۳	۰,۰۶۰۲	۱۱	۶۵	۵۵	۵	۲۰۰	O۲SN
۰,۰۲۱	۱۲	۰,۰۵	۱۱	۵۴	۴۹,۵	۴,۵	۲۴۰	O۳SN
۰,۰۲	۱۵	۰,۰۵۵۵	۱۳	۶۰	۵۲	۴	۱۶۰	S۳SN

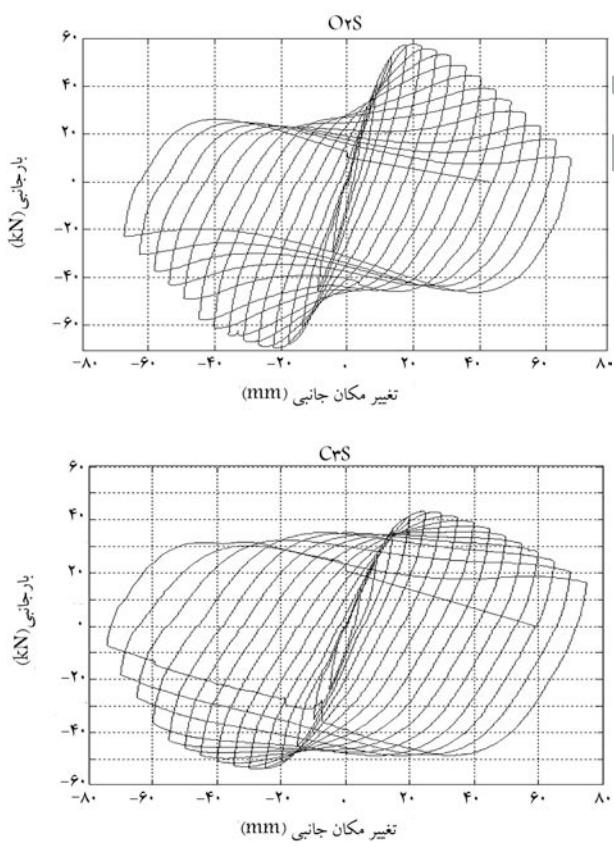


شکل ۸. منحنی‌های چرخه‌بی نمونه‌های بدون ورق‌های سخت‌کننده.



شکل ۹. منحنی های چرخه‌بی نمونه‌های با ورق‌های سخت‌کننده در ناحیه‌ی بحرانی.

شکل ۹ منحنی های چرخه‌بی نمونه‌های با ورق‌های سخت‌کننده در ناحیه‌ی بحرانی ستون و در شکل ۱۰، منحنی های چرخه‌بی نمونه‌های با ورق‌های سخت‌کننده در سرتاسر طول ستون نشان داده شده است.

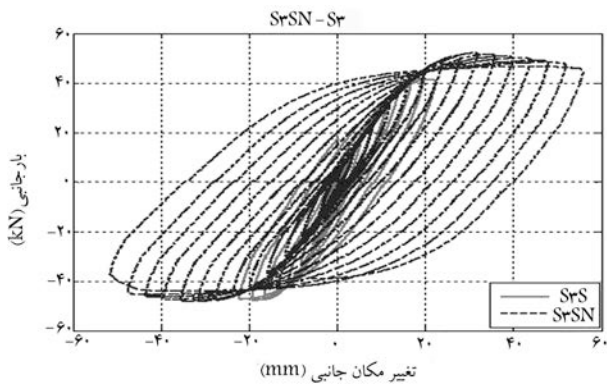


شکل ۱۰. منحنی های چرخه‌بی نمونه‌های با ورق‌های سخت‌کننده در سرتاسر طول ستون.

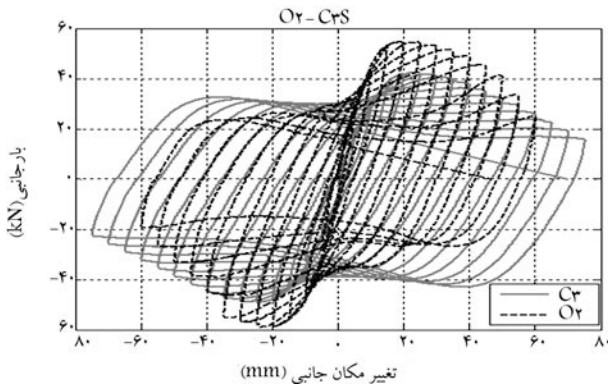
### مقایسه‌ی منحنی های چرخه‌بی نمونه‌ها و بررسی نتایج

منحنی های چرخه‌بی نمونه‌های بدون ورق‌های سخت‌کننده و نمونه‌های با ورق‌های سخت‌کننده در سرتاسر طول ستون و نمونه‌های با ورق‌های سخت‌کننده در ناحیه‌ی بحرانی ستون در شکل‌های ۸ الی ۱۱ با یکدیگر مقایسه شده‌اند تا اثر ورق‌های سخت‌کننده و همچنین اثر شکل مقطع عرضی در رفتار ستون‌های CFST بررسی شود. با مقایسه‌ی منحنی های نمونه‌ها نتیجه می‌شود که شکل پذیری ستون‌های با مقطع دایره بیشتر از مقطع هشت‌ضلعی و ستون‌های با مقطع هشت‌ضلعی شکل پذیرتر از مقطاع مربعی است.

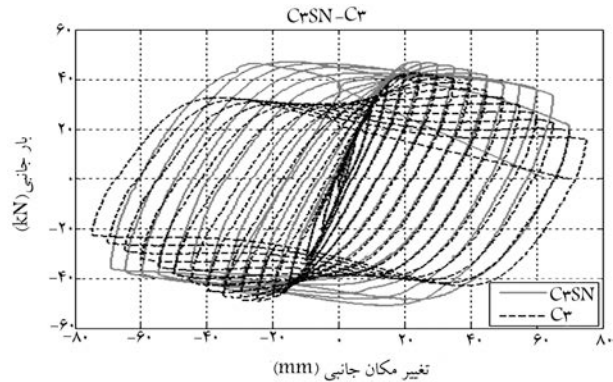
با مقایسه‌ی منحنی‌ها در شکل‌های ۱۲ تا ۱۶ مشخص می‌شود که وجود ورق‌های سخت‌کننده در داخل ستون‌های CFST باعث افزایش شکل پذیری و باعث به تعیین افتادن کمانش موضعی جدار فولادی می‌شود. اثر وجود ورق‌های سخت‌کننده در نواحی بحرانی ستون (نواحی تحت تنش‌های بیشینه) در افزایش شکل پذیری بیشتر از وجود ورق‌های در سرتاسر طول ستون است (شکل‌های ۱۷ و ۱۸). جدار فولادی در ستون‌های CFST به طور کامل بتن داخل را دورگیر و محصور می‌کند و مقاومت بتن و کرنش نهایی بتن را به مقدار قابل توجهی افزایش می‌دهد. با مقایسه‌ی منحنی های چرخه‌بی نمونه‌ها (شکل‌های ۸ تا ۱۰) با منحنی های چرخه‌بی ستون‌های بتنی معمولی مشخص می‌شود که تعداد چرخه‌های بارگذاری



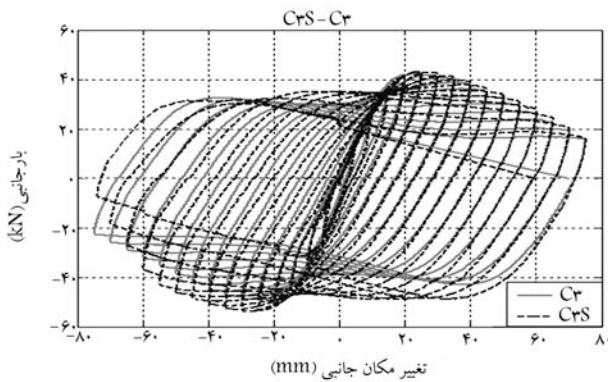
شکل ۱۵. منحنی های چرخه بی  $S^3SN$ ,  $S^3$ ,  $SrSN$ - $Sr$



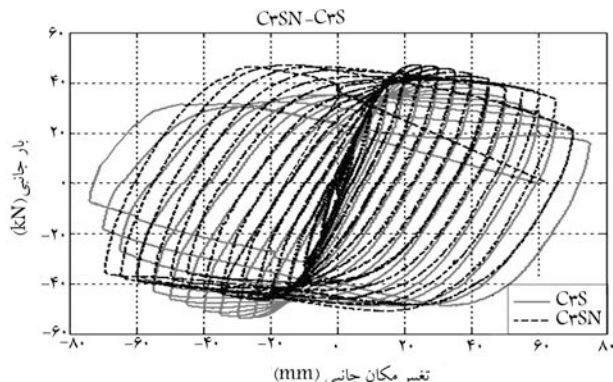
شکل ۱۱. منحنی های چرخه بی  $O^3$ ,  $O^3$ ,  $O2$ - $CrS$



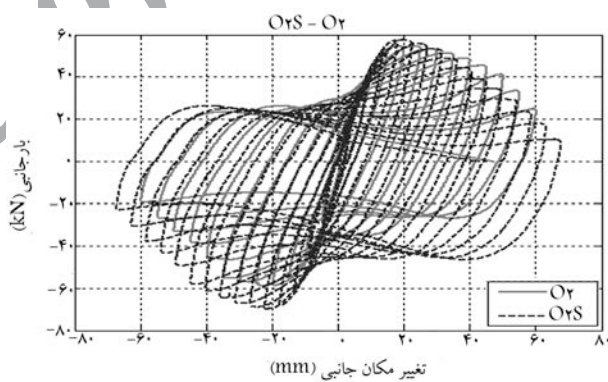
شکل ۱۶. منحنی های چرخه بی  $C^3SN$ ,  $C^3$ ,  $CrSN$ - $Cr$



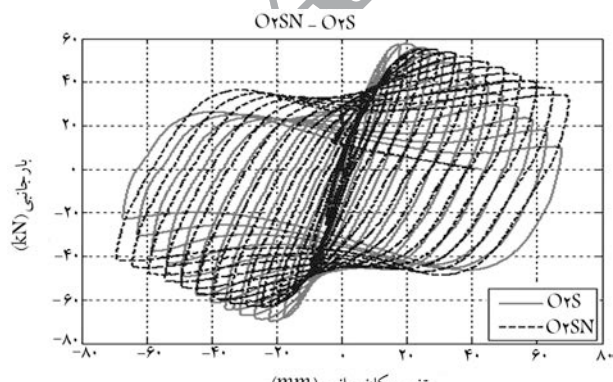
شکل ۱۲. منحنی های چرخه بی  $C^3$ ,  $C^3S$ ,  $CrS$ - $Cr$



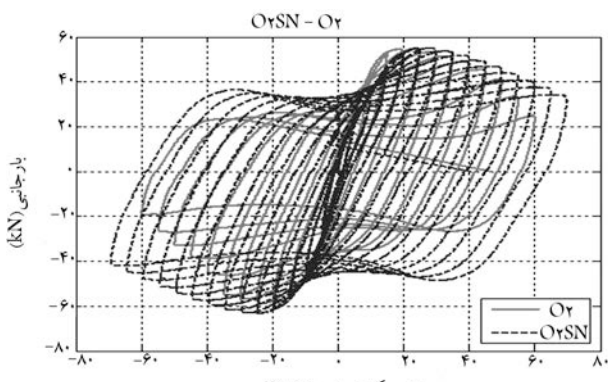
شکل ۱۷. منحنی های چرخه بی  $C^3S$ ,  $C^3SN$ ,  $C^3$ - $CrS$



شکل ۱۳. منحنی های چرخه بی  $O^3$ ,  $O^3S$ ,  $O2$ - $O2$



شکل ۱۸. منحنی های چرخه بی  $O^3$ ,  $O^3S$ ,  $O2$ - $O2SN$



شکل ۱۴. منحنی های چرخه بی  $O^3$ ,  $O^3S$ ,  $O2$ - $O2SN$

سختکننده نقش مهم و قابل توجهی در افزایش چرخه‌های بارگذاری قابل تحمل از طریق ستون و افزایش شکل پذیری ستون و افزایش جذب انرژی دارد.

۲. استفاده از ورق‌های سختکننده در نواحی بحرانی ستون مقدار  $t/D$  یا  $B/t$  را کاهش داده‌اند و کمانش موضعی را به تعویق می‌اندازند، با توجه به  $B/t$  و  $D/t$  نمونه‌های مختلف (جدول ۴) و تعداد چرخه‌های قابل تحمل توسط نمونه‌ها در شروع کمانش موضعی (شکل‌های ۸ تا ۱۰) پیشنهاد می‌شود، بیشینه‌ی  $D/t$  برای مقاطع مدور بدون ورق‌های سختکننده به ۳۲ و بیشینه‌ی  $t/B$  برای مقاطع هشت‌ضلعی و مربعی به ۲۵ محدود شود.

۳. با مقایسه‌ی نتایج آزمایش‌های نمونه‌ها (جدول ۴) و با توجه به منحنی‌های چرخه‌ی نمونه‌ها، رفتار ستون‌های CFST با مقطعه دایره از لحاظ شکل پذیری و ظرفیت جذب انرژی و تعداد سیکل‌های قابل تحمل تا آفت قابل توجه مقاومت بهتر از رفتار با مقاطع هشت‌ضلعی و رفتار ستون‌ها با مقاطع هشت‌ضلعی بهتر از رفتار با مقطعه مربعی است. در استفاده از مقاطع هشت‌ضلعی و مربعی، برای کاهش  $B/t$  توصیه می‌شود در محل اتصالات و نواحی بحرانی از ورق‌های سختکننده استفاده شود.

۴. با مقایسه‌ی منحنی‌های چرخه‌ی نمونه‌ها (شکل‌های ۸ تا ۱۰) با منحنی‌های چرخه‌ی ستون‌های بن مسلح معمولی مشاهده می‌شود، در ستون‌های CFST پدیده‌ی گلوبی شدن<sup>۲</sup> در منحنی‌های چرخه‌ی نسبت به ستون‌های بن مسلح بسیار کمتر است. [۱۳، ۱۴]

۵. استفاده از ورق‌های سختکننده در نواحی بحرانی در ستون‌های CFST در کاهش پدیده‌ی گلوبی شدن یار مؤثر است (شکل ۹).

۶. در ستون‌های CFST در اثر محصوریت بن با جدار فولادی، مقاومت فشاری پتن افزایش می‌یابد. این افزایش مقاومت با افزایش نسبت طول به قطر یا مقطع ( $L/D$ ) و نیز با افزایش ضریب فشردگی مقطع ( $t/B$  یا  $t/D$ )، کاهش می‌یابد.

جانبی متحمل شده‌ی نمونه‌ها به مرتب بیشتر از ستون‌های بتی معمولی است.<sup>[۱۵]</sup> این مورد در اثر محصوریت هسته‌ی بن با جدار فولادی است و باعث افزایش قابل توجه در شکل پذیری و جذب انرژی می‌شود.

تمام نمونه‌های تحت فشار توازن با بار جانبه چرخه‌ی در اثر کمانش موضعی جدار فولادی و پکیده شدن بن در محل کمانش موضعی به شکست رسیده‌اند با افزایش  $B/t$  یا  $D/t$  کمانش در چرخه‌های کمتری رخ می‌دهد (جدول ۳ و ۴)، که نشان‌دهنده اثر قابل توجه ضریب فشردگی مقطع ( $t/B$  یا  $D/t$ ) در رفتار این ستون‌هاست.

بیشینه‌ی کرش وارد شده به بن در شروع شکست حدود ۷۰٪ و بیشینه‌ی کرش بن در شروع کمانش موضعی جدار فولادی ۹۲٪ و کرش نهایی بن در شروع گسیختگی ۵۰٪ است (متوجه نمونه‌ها طبق جدول ۴) که نشان‌دهنده اثر محصوریت بن با جدار فولادی است که باعث افزایش قابل توجه شکل پذیری بن می‌شود. همچنین بر اساس نتایج آزمایش‌ها، نمونه‌ها در اثر محصوریت بن با جدار فولادی، مقاومت بن برای مقاطع دایره‌ی حدود ۲۵٪ و برای مقاطع هشت‌ضلعی حدود ۲۲٪ و برای مقاطع مربعی حدود ۱۶٪ (متوجه نمونه‌ها) افزایش می‌یابد.

با توجه به شکل‌های ۱۴ تا ۱۶ در نمونه‌های با ورق‌های سختکننده در سرتاسر طول ستون و تحت فشار توازن با بار جانبه، وجود ورق‌ها در افزایش مقاومت مقطع بی‌تأثیر نیست، ولی در افزایش شکل پذیری نسبت به مقادیر مصالح مصرفی فولاد تأثیر قابل توجهی ندارند. اما در به تعویق‌انداختن کمانش موضعی جدار فولادی نقش مهمی دارند.

## نتیجه گیری

۱. در ستون‌های CFST با ورق‌های سختکننده در ناحیه‌ی بحرانی ستون (جایی که مصالح ستون تحت تنشی‌های ناشی از فشار و خشم بیشینه قرار دارند)، ورق‌های

## پانوشت

- Actuator
- pinching

## منابع

- Compione, G.; Scibilia, N. and Zingone, G. "Strength and ductility of hcircular steel columns filled with fiber reinforced concrete", *Dipartimento di Ing. Struct. Universita di palermo, I-90128, ITALY* (1998).
- Susantha, K.A.S.; Hanbin, Ge. and Tsutomu, U. "Uniaxial stress – strain relationship of concrete confined by various shaped steel tubes", *Enginer Struct.*, **23**, pp. 1331-1347 (2001).
- Wang, Y.C. "Tests on slender composite columns", *J. Conollow Str. Steel Revs.*, **49**, pp. 25-41 (1999).
- O'shea, M.D. and Bridge, R.Q. "Circular thin walled tubes with high strength concrete infill", *Proceeding Engineering Foundation Conference, Composite Construction III*, Irsee , Germany (1996).
- Harry, G., Harris and Gajanan, M. "Structural modeling & experimental techniques", 2nd Edition., Boca Rotan, CRC Press (1999).
- Cai, S. and Jiao, Z. "Behaviour and ultimate strength of concrete filled steel tubular columns under eccentric loading", *Jian Zhu Jie Gou xue Bao*, **6**(4), pp. 32-42 (1985).
- Shakir khalil, H. and Zeghiche, Z. "Experimental behaviour of concrete filled rolled rectangular hollow section columns", *The Structural Engineer*, **67**(19), pp. 345-353 (1989).

8. Fujinaga,T.; Tsuda, K. and Matsui, C. "Hysteresis model for concrete filled steel square tubular beam-columns", *Journal of 12 WCEE*, (2000).
9. Mino, E.; Matsui, C.; Tsuda, K. and udo, F. "Design method of slender concrete filled steel tubular columns under constant vertical and alternating horizontal load", *Summaries of Technical Papers of Annual Meeting Architectural Institute of Japan*, pp. 965-966, (in Japanese) (1996).
10. Chen, W.F. "Behaviour of concrete filled steel tubular columns", *proceedings of the ASCE - IABSE International Conference on Tall Buildings*, 3, pp. 608-612 (1972).
11. *Composite Construction in Steel and Concrete*, ASCE, New York, 8, pp. 702-727 (1997).
12. Grauers, M. "Composite columns of hollow steel section filled with high strength concrete", *Division of Concrete Structures, Chalmers University of Technology*, Gutenberg, Sweden, pp. 140 (1993).
13. Ichinohe, y.; Matsutani, T.; Nakajima, M.; ueda H. and Takada, k. "Elasto – plastic behavior of concrete filled steel circular columns", *Proceedings of the third International conference on steel concrete composite structures*, Fukuoka, Japan, pp. 13-136 (September 26–29, 1991).

Archive of SID